

지능을 이용한 한방 진단 과학화 시스템

홍 유식

상지대학교 컴퓨터정보공학부

목 차

- I. 서론
- II. 양한방협진
- III. 한방과학화

- IV. 모의실험
- V. 결론

I. 서론

세계적으로 유명한 장수국가인 일본에서는, 실버산업이 시장규모 320조원 중에서, 일본 전체 소비총액의 20%에 근접하고 있다고 한다. 우리나라에서도 노인인구의 비율이 1990년 5.1%에서 2000년 7.3% 그리고 2020년이 되면 15.1%에 도달할 것으로 예상하고 있다. 그러므로 우리나라도 고령화 국가로 진입하기까지의 기간이 20년 정도로 다른 어느 나라보다 짧을 것으로 예측되고 있다. 보건복지부에서는 말기암 환자 및 노인성질환을 치료하기 위해서 한의학 과학화에 양한방 협진 및 한방 과학화 체제를 갖추는 중장기 계획을 수립하고 있다. 사실, 한방치료는 의학적인 우수성에도 불구하고 서양의학에 비해 인지도가 낮고 또한, 종의학에 비해 세계 의료시장으로의 진출성이 떨어지는 것이 사실이다. 이는 한의학이 서양의학에 비하여 객관화되고 시각화된 진단 및 치료 결과를 보여줄 수가 없기 때문이다.[1-4] 애매모호한 현상을 과학적으로 치료하는 방법으로는 퍼지규칙 및 지능기법을 이용한 연구가 많이 진행되고 있다[5, 9, 10]. 본 논문에서는 이러한 문제점을 해결하기 위해서 양한방 협진의 문제점 및 지능을 이용한 한방 과학화를 모의 실험하였다[7, 8]. 본 논문의 구성은 다음과 같다. 2장에서는 양한방 협진에 관해서 알아보고 3장에서는 한방과학화를 하기위한 전자침에 관해서 알아보고 4장에서는 전자침 모의실험결과를 알아보고 5장에서는 결론을 맺는다.

II. 양한방협진

정부는 만성·난치성 질환 증가에 따른 한방에 대한 수요 증대 세계에 진출할 수 있는 원천핵심기술과 한방신약 개발 필요 의료비 절감효과 등을 이유로 한방 과학화를 위한 연구개발사업을 추진하고 있다. 보건복지부 등에 따르면 2009년 연구개발사업에 65억원이 투입되고 상품화 가능성이 있는 한방바이오피전연구가 진행 중이다. 뿐만 아니라, 국립독성연구원은 한약재 유효성분을 규명하는 한약재 과학화 사업을 식품의약품안전청으로부터 넘겨받아 추진하고 있다. 한국한의학연구원은 중풍이나 침구 등 한방의 특성을 고려한 주제별 종합연구를 하고 있다. 한의학은 의학적인 우수성에도 불구하고 서양의학에 비해 인지도가 낮고 또한, 종의학에 비해 세계 의료시장으로의 진출성이 떨어지는 것이 사실이다. 이는 한의학이 서양의학에 비하여 객관화되고 시각화된 진단 및 치료 결과를 보여줄 수가 없기 때문이다. 양한방 협진이란 환자를 진료할 때 의사와 한의사가 함께 진단과 검사에 참여한 후 가장 적합한 치료방법을 결정하는 진료체계를 말한다. 다시 말해 양방과 한방의 장점을 취해 치료효과를 높이고, 환자의 진료비 부담을 줄이자는 것이다. 이런 양한방 협진은 1990년대부터 도입되기 시작해 2004년 현재 120개 한방병원이 도입하고 있는 것으로 파악되고 있다. 양한방 협진이 보다 많은 환자에게 치료효과를 극대화하려면, 의사와 한의사가 협의해 치료방법, 치료내용에 관한 계획을 수립한 다음 거기에 따라 공동으로 치료함으로써 치료효율을 높여야한다. 양·한방 협

진의 필요성은 그림 1에서 보는것과 같이 양방에서 치료한 동일약물을 한방 치료에서도 같은 이중처방을 하는 경우로 인한 부작용을 예방하는 지능형 약재 관리 시스템이 반드시 개발되어야 하는 문제점이 재기되고 있다.

한약 이름	한약 코드	양약 이름	양약 코드	부작용 (증세)	부작용 코드
빈창 A1		플루펜티솔(Flupentixol), 로사이클리딘(Procyclidine),	AF AP	강직, 운동개시장애	SF
		부타몰(Salbutamol)	AS	천식	SC
단삼 B1		와파린	Bw	혈액응고시간 연장	SB
당귀 C1		와파린	Ck	출혈경향	SFF

ID RELATION	TRANSACTION	SIDE EFFECT
B1 → AF	C1→ AF	10 %
B1 → Bw	A1 → As	90 %
C1 → Bw	B1 → Ck	75 %

그림 1. 유사도를 이용한 한방치료

Fig. 1. Oriental medicine treatment using degree of similarity

그러므로 양방에서 치료한 동일약물을 한방 치료에서도 같은 이중처방을 예방하기 위해서는 표 1에서 보는 것과 같이 환자치료를 한 약물데이터를 실시간으로 확인할 수 있는 양한방 데이터를 구축해야만 한다.

표 1. 환자 조건을 고려한 양한방 데이터

Table 1. Patient conditions considering oriental and western data

입력조건	양방 결과수치	한방 결과수치
1. 공통: 과거 3 개월 당뇨수치	Small	Big
2. 한방: 맥진	Small	Big
3. 한방: 식이요법	Big	Small
4. 한방: 설진	Big	Small
5. 양방: 당뇨수치	Small	Big
6. 양방: 심전도 수치	Small	Big
7. 양방: 당뇨: 망막 안과 수치	Small	Big
8. 양방: 당뇨수치 내림세	Small	Big
9. 양방: 당뇨 수치 오름세	Big	Small
10. 유전성 당뇨	Big	Small
11. 비 유전성 당뇨	Small	Big

III. 한방과학화

본 논문에서는 신체조건에 적합한 자침시간을 산출하기 위해서 지능형 알고리즘을 사용하고자 한다. 의사 결정 나무 기법은 이해 할 수 있는 해석을 얻고자 하는 연구 등이 이루어졌으며, 통계학자들에 의하여 개발되었으며 기계학습(machine learning)방법으로 간주되고 있다. 침의 기원은 석기 시대부터 유래 되었으며, 가장 오래된 침술 도구는 펌석이었으며, 한의학에서는 침의 효과를 물의 흐름에 비유한다. 침을 맞는 빈도는 보통 2, 3일 간격으로 제한하고 있으며 자침시간은 최소 30분 정도를 기준하고 있다. 왜냐하면 한방치료에서는 기가 인체를 순환하는 데 걸리는 시간을 약 27-30분 정도가 소요 된다고 추정 하고 있기 때문이다. 이러한 근거는, 환자에게 침 자극을 주면 아세틸콜린이란 신경 전달물질이 15분 이후부터 분비되며 30분이 지나면 정지되기 때문이다.

침의 원리는 다음과 같다. 환자에게 자침을 하면, 좁아진 통로에서 유속(V)이 증대하게 되고 압력(P)이 낮아져 음압이 발생하게 된다. 이러한 원리는 베르누이 정리가 적용되기 때문이며, V가 증대되면 P는 감소하기 때문에 침을 놓은 부위는 주위의 정상압 보다 낮아진 음압에 의하여 정혈(淨血) 되는 것이다. 다시 말해서, 유속에 의하여 기혈 순환이 정상화되기 때문에 침을 놓고 난 후에 침을 맞은 피부주위가 약간 붉어지는 것도 이러한 원리가 적용되기 때문이다. 자침을 할 경우에 중요한 요인은 다음과 같다.

3.1. 침의 굵기

어떤 부위에 자침한 침은 그 굵기에 따라 그 조직 부근을 흐르는 기혈에 대한 정혈효과에 영향을 기 때문에 신체부위의 기혈량이 큰 곳에는 굵은 침을, 기혈량이 적은 곳에는 가는 침을 사용해야 한다.

3.2. 자침시간

자침시간은 인체를 순환하는 데 걸리는 시간을 약 27-30분 정도 소요되기 때문에 환자의 병세조건 및 신체조건에 따라서 가감을 해야 한다. 병의 심하고 약함과 환자 체력의 경증에 따라 깊이 놓기도 하고 얕게 놓기도 하는 깊이를 가늠하는 능력도 중요한 기본이다.

3.3. 혈자리

환자의 혈자리를 정확하게 찾으려면 염화칼슘농도가 높은 부위와 전기가 잘 전도되는 부위가 혈자리이기 때문에 이러한 혈자리를 정확하게 찾을 수 있는 연구가 필요하다.

이러한 의사결정형 나무형 모형의 특징은 If A, Then B, Else C 형식의 규칙으로 표현되며, 이러한 의사 나무구조의 결정 규칙을 생성하기 위하여 각 단계에서 p개의 설명변수 중 어느 것에 의하여 가지분리를 할 것인 가를 선택해야 한다. 정확하게 산출하기 위해서 표 1과 같이 퍼지규칙을 사용하였다. 그림 2에서는 C4.5 알고리즘을 적용하여 최적의 자침시간을 산출하는 과정을 보여주고 있다.

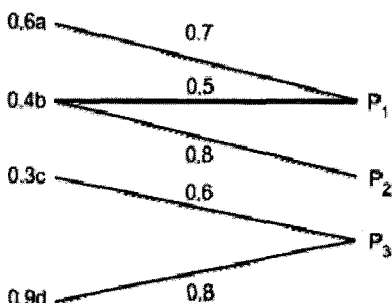


그림 2. 퍼지규칙을 이용한 전자침 보정계수

Fig. 2. Electronic acupuncture needle conversion factor using fuzzy rules

```

Node[0] = Medical Input_Node;
Node[1] = Medical Input_Node;
Node[2] = Medical BP_Middle_Node(0.3, 0.5);
Node[3] = Medical BP_Middle_Node(0.4, 0.7);
:
:
Node[9] = Medical BP_Middle_Node(0.6, 0.9);

Node[0]->Medical Set_Value(data[i]->In(0));
    // 입력노드값을 설정
Node[1]->Set_Value(data[i]->In(1));
for(int i=0;i<9;i++)          // 링크들 생성
    Link[i] = new Epoch_BP_Link;
int     curr = 0;      // 네트워크 연결

```

그림 3. 자침시간 산출 과정

Fig. 3. Process for calculation of acupuncture time

만약 a, b, c, d 4명의 환자가 병세 조건이 말기 조건 일 때에는 죄측의 숫자 0.8-1.0 으로 표시하고 중기 조건 일 때에는 죄측의 숫자 0.4-07로 표시하고 초기조건일 때에는 죄측의 숫자 01-03로 표시하고 있다. 중간숫자는 환자의 신체조건을 표시하고 있다. 가령, 키가 150 cm 이고 체중이 45 kg 미만일때에는 0.1에서 0.3으로 표시하며, 키가 151cm - 170 cm 이고 체중이 46 kg -70kg 인 경우에는 0.4에서 0.7로 표시하며, 키가 171cm - 200 cm 이고 체중이 71 kg -130kg 인 경우에는 0.8에서 1.0 으로 표시하고 있다. 오른쪽 끝의, P_1, P_2, P_3 는 최적 자침 시간을 표시하고 있다. 여기서 연결선에 표시된 숫자는 그림 3에서 보는 것처럼 신체 조건에 따른 자침시간을 산출하는 과정을 설명하고 있다.

IV. 모의실험

환자에게 최적의 자침시간을 산출하기 위해서는 환자 신체조건, 심리조건 성별을 고려하여 보다 정확한 판단이 가능하도록 27개 규칙을 사용해서 이러한 문제점을 보완했다. 포화용량을 보정하는 $X \times Y$ 의 각 원소들이 퍼지 보정계수를 이용해서 산출된다. 그림4에서는 퍼지규칙을 이용한 신체보정 과정을 설명하고 있다.

	체중조건		나이조건		신체조건	
	Y1	Y2	Y1	Y2	Y3	
병세조건 X1 (초기)	0.7	0.5	0.86			
병세조건 X2 (말기)	0.5	0.35	0.7			

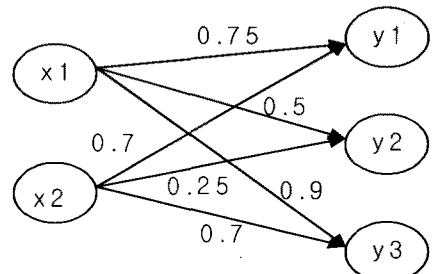


그림 4. 퍼지규칙을 이용한 신체조건 보정 계수

Fig. 4. Body condition conversion factor using fuzzy rules

표 2에서는 최적의 자침시간을 산출 하기위해서, 환자 신체조건을 보정하는 퍼지규칙을 설명하고 있다.

표 2. 환자 조건을 고려한 퍼지규칙

Table 2. Fuzzy rules using patient's conditions

최적조건		전자침 강도	전자침 깊이	저침 시간
환자조건				
체중 조건	Y1H	Big	Med	Big
	Y2YM	Big	Med	Med
	Y3S	Med	Small	Small
나이 조건	Y2H	Big	Med	Small
	Y2M	Med	Med	Medl
	Yy2L	Small	Small	Small
신체 조건	Y3H	Big	Med	Big
	Y2M	Med	Med	Med
	Y1L	Small	Small	Med

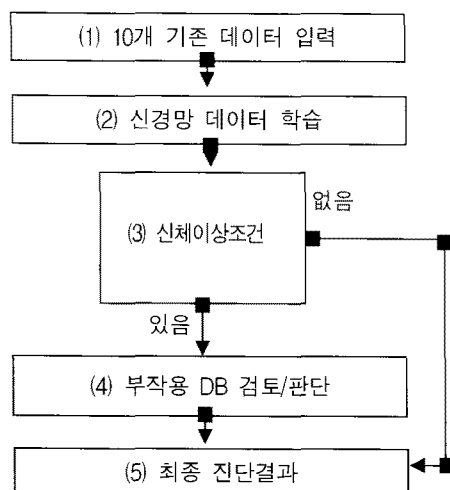


그림 5와 그림 6에서는 지능을 이용하여 언제, 어디서나, 누구나, 쉽게 환자신체조건을 고려하여 전자침 최적 자침시간 시뮬레이션 결과를 보여주고 있다.

표 3에서는 3장 및 4장 모의실험에서 설명한 것과 같이 퍼지논리와 퍼지 추론 규칙을 이용하여 환자 신체조건 3가지에 관해서 적합한 최적의 자침시간 산출하는 과정을 모의실험 하였다. 실험결과 지능을 이용한 전자침은 언제 어디에서나 환자가 휴대폰을 이용해서 전자침 서비스를 선택하고 자신의 신체조건, 병세

조건, 나이조건을 입력하면 최적의 자침시간을 표시해 주기 때문에 기존의 전자침 보다 자침시간을 연장하거나 단축하여 기존 자침 시에 발생하는 부작용을 예방 할 수 있음을 확인하였다.

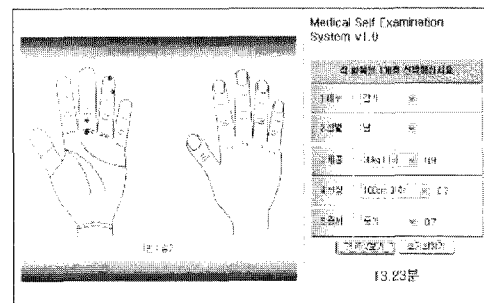


그림 5. 전자침 시뮬레이션 1
Fig. 5. Electronic acupuncture needle simulation 1

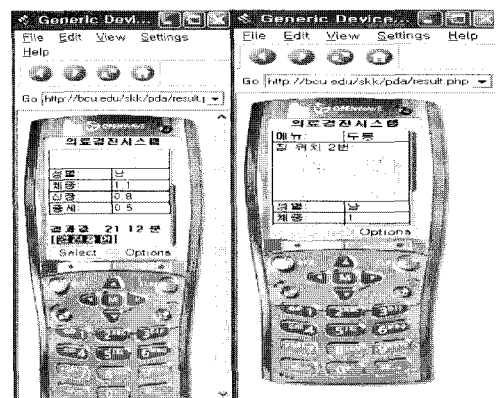


그림 6. 전자침 시뮬레이션 2
Fig. 6. Electronic acupuncture needle simulation 2

뿐만 아니라, 초보자도 그림 5에서 보는 것처럼 초기 메뉴를 선택하면 혈점 위치를 보여주기 때문에 기존의 전자침에서는 자침위치를 정확하게 몰라서 혈점 위치를 찾는 데에 많은 어려움 있었지만 본 논문에서는 이러한 문제점을 개선하였다. 그림 7에서는 휴대용 맥진시스템을 환자가 시계처럼 24시간 착용하면서, 언제 어디서나 맥파의 변화를 감지해서 이상 수치가 발생할 때 본인 및 의사에게 원격으로 전송이 가능하고, 진맥 결과가 원격으로 전송하는 시스템을 보여주고 있다.

표 3. 최적 전자침 퍼지 규칙 및 구현

Table 3. Fuzzy rules for optimal electronic acupuncture needle and its implementation

Fuzzy 입력 데이터			최종 자침시간	
신체조건	병세조건	나이조건	기준	지능
Big	Small	Big	Normal	Extend
Big	Med	Big	Normal	Reduce
Big	Big	Big	Normal	Reduce
Med	Med	Med	Normal	Normal
Med	Med	Small	Normal	Reduce
Med	Big	Big	Normal	Normal
Small	Big	Big	Normal	Reduce
Small	Big	Med	Normal	Reduce
Small	Big	Small	Normal	Extend

```

<TITLE>의료검진시스템</TITLE>
</HEAD>
<BODY>
if ($ss==x){$img="증상메뉴 선택안함";}
if ($ss==감기){$img="침 위치 1번:<br><img src='12.jpg'>"}
if ($ss==두통){$img="침 위치 2번:<br><img src='22.jpg'>"}
if ($ss==치통){$img="침 위치 3번:<br><img src='32.jpg'>"}
if ($ss==복통){$img="침 위치 4번:<br><img src='42.jpg'>"}
if ($ss==해열){$img="침 위치 5번:<br><img src='52.jpg'>"}
$rr=$bb1*$cc1*$cc1*30;
$rr = number_format($rr,2);
<table cellpadding='1' cellspacing='1' border="0"
width="100%" bgcolor='black'>
<tr><td bgcolor="pink">메뉴:</td><td bgcolor="white">
<?=$ss?></td></tr>
<tr><td bgcolor='white' colspan=2><?=$img?></td></tr>
<tr><td bgcolor="pink">성별:</td><td bgcolor="white">
<?=$aa?></td></tr>
<tr><td bgcolor="pink">체중:</td><td bgcolor="white">
<?=$bb1?></td></tr>
<tr><td bgcolor="pink">신장:</td><td bgcolor="white">
<?=$cc1?></td></tr>
<tr><td bgcolor="pink">중세:</td><td bgcolor="white">
<?=$dd1?></td></tr>
</table>
<br>
<b>결과값 : <?=$rr?> 분
<p>
<a href="index.html">검진화면</a>

```

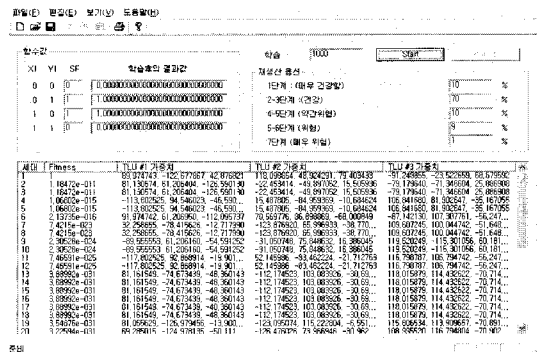


그림 7. 휴대용 맥진 시스템 모의실험

한의학에서는 크게 네 가지의 진찰 방법을 사용하고 있는데, 보고 [望], 듣고 [聞], 묻고 [問], 만져서 [切] 진찰하는 방법 중에서, 혀를 보고 진찰하는 망진(望診)에 속하는 것이 설진이다. 이것은 혀의 상태나 혀에 끼는 설태(舌苔) 등을 관찰하여 병의 유무나 종류를 진단하는 방법으로 오래 전부터 행해져 왔다. 혀에서는 주로 심장(心臟)과 비장(脾臟)의 기능을 살펴볼 수 있다. 설태가 흰 것은 질병의 초기나 가벼운 질병에서 나타나며, 허증(虛證)·한증(寒證)·습증(濕證)을 나타낸다. 누런 설태는 내장에 열이 축적되었을 때, 흔히 급성 열병에서 많이 나타나게 된다. 한기나 가벼운 질병에서 나타나며, 허증(虛證)·한증(寒證)·습증(濕證)을 나타낸다. 누런 설태는 내장에 열이 축적되었을 때, 흔히 급성 열병에서 많이 나타나게 된다.

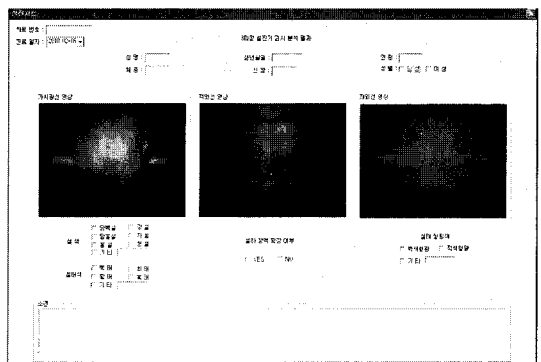


그림 8. 휴대용형 설진 시스템
Fig. 8. Portable tongue chart system

그림 8에서는 한방 과학화를 위해서, 환자의 설진

영상에서 환자의 건강판단 상태와 가장 유사도가 높은 RGB 영상을 자동으로 검색 할 수 있는 기능을 설명하고 있다. 뿐만 아니라, 본 논문에서는 자외선 방식과 적외선 방식을 이용해서 설태량과 설하정맥을 보다 정확하게 판단 할 수 있는 알고리즘을 개발하였다.

그림 9에서는 설진 전자 차트 시스템을 보여주고 있다. 본 논문에서는 환자의 병명을 선택하면 병명에 따른 환자 데이터를 실시간으로 display 하는 과정을 보여주고 있다.

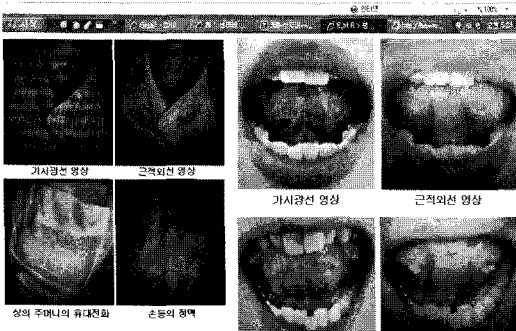
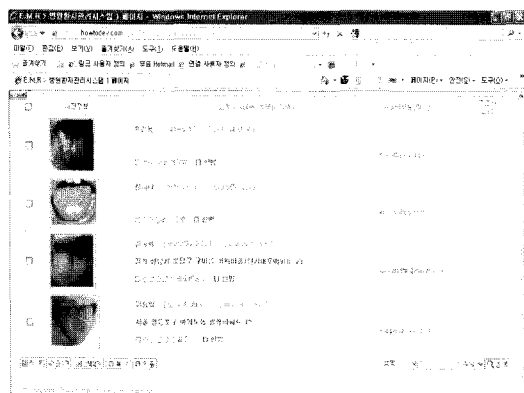
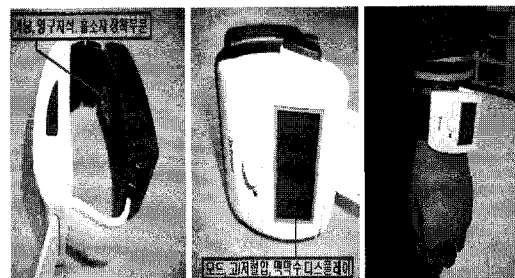


그림 9. 설진 전자 차트 시스템
Fig. 9 Tongue electronic chart system

그림 10에서는 휴대용 맥진시스템을 환자가 시계처럼 24시간 착용하면서, 언제 어디서나 맥파의 변화를 감지해서 이상 수치가 발생할 때 본인 및 의사에게 원격으로 전송이 가능하고, 진맥 결과가 원격으로 전송하는 시스템을 보여주고 있다.



혈압주장계 맥파 측정 DATA SHEET									
측정일자 11/24 측정일자 11/24 측정일자 11/24									
증기기별	증기기별	증기기별	증기기별	증기기별	증기기별	증기기별	증기기별	증기기별	증기기별
증기기별	증기기별	증기기별	증기기별	증기기별	증기기별	증기기별	증기기별	증기기별	증기기별
1	1.0	1.0	1.0	1.0	1.0	1.0	1.0	1.0	1.0
2	1.0	1.0	1.0	1.0	1.0	1.0	1.0	1.0	1.0
3	1.0	1.0	1.0	1.0	1.0	1.0	1.0	1.0	1.0
4	1.0	1.0	1.0	1.0	1.0	1.0	1.0	1.0	1.0
5	1.0	1.0	1.0	1.0	1.0	1.0	1.0	1.0	1.0
6	1.0	1.0	1.0	1.0	1.0	1.0	1.0	1.0	1.0
7	1.0	1.0	1.0	1.0	1.0	1.0	1.0	1.0	1.0
8	1.0	1.0	1.0	1.0	1.0	1.0	1.0	1.0	1.0
9	1.0	1.0	1.0	1.0	1.0	1.0	1.0	1.0	1.0
10	1.0	1.0	1.0	1.0	1.0	1.0	1.0	1.0	1.0
11	1.0	1.0	1.0	1.0	1.0	1.0	1.0	1.0	1.0
12	1.0	1.0	1.0	1.0	1.0	1.0	1.0	1.0	1.0
13	1.0	1.0	1.0	1.0	1.0	1.0	1.0	1.0	1.0
14	1.0	1.0	1.0	1.0	1.0	1.0	1.0	1.0	1.0
15	1.0	1.0	1.0	1.0	1.0	1.0	1.0	1.0	1.0
16	1.0	1.0	1.0	1.0	1.0	1.0	1.0	1.0	1.0
17	1.0	1.0	1.0	1.0	1.0	1.0	1.0	1.0	1.0
18	1.0	1.0	1.0	1.0	1.0	1.0	1.0	1.0	1.0
19	1.0	1.0	1.0	1.0	1.0	1.0	1.0	1.0	1.0
20	1.0	1.0	1.0	1.0	1.0	1.0	1.0	1.0	1.0
21	1.0	1.0	1.0	1.0	1.0	1.0	1.0	1.0	1.0
22	1.0	1.0	1.0	1.0	1.0	1.0	1.0	1.0	1.0
23	1.0	1.0	1.0	1.0	1.0	1.0	1.0	1.0	1.0
24	1.0	1.0	1.0	1.0	1.0	1.0	1.0	1.0	1.0
25	1.0	1.0	1.0	1.0	1.0	1.0	1.0	1.0	1.0

그림 10. 휴대용 맥진 시스템

Fig. 10. Portable pulse wave system

(Rule 1)

$$[0.3/4, 0.5/5, 1/6] \mid ^{[0.7/-3, 0.6/-2, 0.8/-1, 0.4/0, 0.1/1]}$$

$$\uparrow$$

$$\mid ^{[0.3/4, 0.5/5, 1/6]}$$

$$= 0.3 \wedge 0.7 \wedge [0.3/4, 0.5/5, 1/6]$$

$$= [0.3/4, 0.5/5, 1/6]$$

(Rule 2)

$$[0.3/4, 0.5/5, 1/6] \mid ^{[0.3/-6, 0.2/-5, 0.8/-4, 0.5/-3]}$$

$$\uparrow$$

$$0.4/-2, 0.2/-1] \mid ^{[0.1/2, 0.5/3, 1.0/5, 0.5/5, 0.2/6]}$$

$$= 0.3 \wedge 0.5 \wedge [0.1/2, 0.5/3, 1.0/4, 0.5/5, 0.2/6]$$

$$= 0.1/2, 0.3/3, 0.3/5, 0.3/5, 0.2/6$$

(Rule 3)

$$[0.3/1, 0.9/2, 0.7/3, 0.3/4] \mid ^{[0.7/-3, 0.6/-2, 0.8/-1, 0.4/0, 0.1/1]}$$

$$\begin{aligned} & 0.1/1] + [0.3/1, 0.9/2, 0.7/3, 0.3/4] \\ & = 0.3, 0.7[0.3/1, 0.9/2, 0.7/3, 0.3/4] \\ & = 0.3/1, 0.3/2, 0.3/3, 0.3/4 \end{aligned}$$

$$u'=[0.3/1, 0.1/2, 0.3/3, 0.3/4, 0.3/5, 0.2/6]$$

$$\begin{aligned} & \{0.3 * [1+3+4+5] }+0.1*[2] +0.2*[6]\} / (0.3 * 4) \\ & + (0.1*1) + (0.2*1) = 3.5 \end{aligned}$$

$$e=R-Y$$

$$Ce=e2-e1$$

여기서 Y: 최적의 맥진 판단

R: 기준입력

e: 오차

Ce: 오차의 변화량

e2: 현재의 오차

- (RULE 1) IF DPSV IS PB
 AND USPC IS NS
 THEN OPRG IS PB
- (RULE 2) IF DPSV IS PB
 AND USPC IS NM
 THEN OPRG IS PM
- (RULE 3) IF DPSV IS PS
 AND USPC IS NS

V. 결 론

본 논문에서는 의료 시스템 지원을 받기 어려운 지역에서, 원격으로 설진영상 및 맥진 데이터를 의사에게 전송이 가능한 한방 진단 시스템을 구현하고 모의 실험을 실시하였다. 뿐만 아니라, 퍼지논리와 퍼지 추론 규칙을 이용하여 환자신체조건 적합한 최적의 자침시간 산출하는 과정을 모의실험 하였다. 본 논문에서는 정확한 자침시간을 산출하기위해서 신체조건, 병세조건, 나이조건 3가지로 분류를 하였다. 그러나, 이러한 분류기법은 환자의 병세조건에 따라서 크게 달라지기 때문에 본 논문에서는 이러한 문제점을 개선하기위해서 병세조건을 고려하여 퍼지규칙을 이용하여 기존의

자침시간은 30초로 고정되어 있으나, 본 논문에서는 환자 조건을 고려하여 자침시간을 연장하거나 단축할 수 있는 모의실험을 하였다. 뿐만아니라, 휴대폰에서 간단한 초기 화면에 병명을 입력하면 헬점위치를 휴대폰 화면에서 보여주기 때문에 기존의 전자침에서는 자침위치를 정확하게 몰라서 헬점위치를 찾는데에 많은 어려움 있었지만 본 논문에서는 이러한 문제점을 개선하였다. 향후 연구 과제로는 유비쿼터스 기술을 이용해서 전자침을 맞은위치와 전자침 강도, 깊이, 시간을 자동적으로 기록하는 EMR 시스템을 개발하면 한양방 치료에 정확한 치료를 할 수 있고 한양방 치료에 가장 문제가 되고 있는 한방 과학화 치료에 큰 기여를 할 것으로 예상된다.

참 고 문 헌

- [1] 서홍관, 한양방 의료일원화, 한국의료대논쟁, 서울소나무, 2000.
- [2] 허준, 국역증보 東醫寶鑑, 서울:남산당, 1992.
- [3] 박찬국, 동의학의 성립에 대한 연구-東醫寶鑑을 통하여-, 대한원전의사학회지, 1991.
- [4] 조병희, 침구영역을 둘러싼 전문직간의 집단갈등 보건과 사회과학 14권, pp.87-124, 2004.
- [5] 조현영, 한의학의 비판과 해설. 소나무, 1997.
- [6] 최종덕, 한의학계의 과학 콤플렉스, 과학사상 2003.
- [7] Michael J.A.Berry, Gordon Linoff, Mastering Datamining, Wiley Computer publishing, 2000.
- [8] 장남식외 2인, 데이터 마이닝, 대청출판사, 2000.
- [9] R. Hoyer, U. Jumar, "Fuzzy Control of Traffic Lights," Proc.3rd IEEE International Conference on Fuzzy Systems, pp.1526-1531, Orlando, U.S.A., 1994.
- [10] Hong YouSik and Park, ChongKug, "Considering Passenger Car Unit of Fuzzy Logic," Proc. of the sixth international fuzzy system association, IFSA, pp.461-464, 1995.
- [10] http://www.tagstory.com/video/video_post.aspx
- [11] 임양근, 진단학 아틀라스3 맥진, 서울:도서출판 청담, pp.11-14, 2003.
- [12] 한국한의학 연구원, 경락 연구의 현재와 미래, 2001.

저자 소개

홍유식



1984년 경희대학교 전자공학과
(학사)
1989년 뉴욕공과대학교 전산학과
(석사)

1997년 경희대학교 전자공학과 (박사)
1985년-1987년 대한항공(N.Y.지점 근무)
1989년-1990년 삼성전자 종합기술원 연구원
1991년-현재 상지대학교 컴퓨터공학부 교수
2000년-현재 한국 퍼지 및 지능시스템학회 이사
2004년-현재 대한 전자 공학회 ITS 분과위원장
 대한 전자 공학회 컴퓨터소사이어티
 명예회장
2004-현재 : 건설교통부 ITS 전문심사위원
2004-현재 : 원주 시 인공지능신호등 심사위원
2005-현재 : 인터넷 정보학회 이사
2005-2008 : 정보처리학회 강원지부 부회장
2006-현재 : 인터넷 방송통신학회 부회장

※ 관심분야 : 퍼지 시스템, 전문가시스템, 신경망,
교통체어